

Expression and purification of recombinant chimeric protein contains CtxB and TcpA from *Vibrio cholera* and investigation of antibody titer in mouse

Milad Amerian¹, Shahram Nazarian^{2*}

1- M.Sc. Student, Department of Biology, Faculty of Science, Imam Hossain University, Tehran, Iran

2- Assistant Professor, Department of Biology, Faculty of Science, Imam Hossain University, Tehran, Iran

*Corresponding Address: Postal Code: 1651136771, Department of Biology, Faculty of Science, Imam Hossain University, Tehran, Iran
Email: nazarian56@gmail.com

Received: 05/Aug/2017, Accepted: 02/Oct/2017

Abstract

Objective: The *TcpA* colonization factor of pili A and the cholera toxin are the most important pathogenesis factors of *Vibrio cholera* that have the ability to stimulate the immune system. The aim of this study is a bioinformatics analysis of the expression of CtxB-TcpA recombinant chimeric protein in *E. coli*, and production of antibody against it in mice.

Methods: We designed a gene cassette that contained the *CtxB* and *TcpA* genes, and a spacer linker by using bioinformatics. Characteristics that include the structure of the chimeric protein and epitopes were studied. In order to build a gene cassette, *TcpA* and *CtxB* genes were proliferated and cloned in pET28a(+). *CtxB-TcpA* gene expression was induced by IPTG. The produced CtxB-TcpA recombinant protein was confirmed by SDS-PAGE and Western blot analyses. Antibody produced from mice serum was isolated and confirmed by ELISA.

Results: The codon adaptation index of the optimized gene was 0.9. The prevalence ratio codons increased to 74% through codon optimization. Enzyme analysis verified the chimeric gene *CtxB-TcpA* cloning in the pET28a (+) expression vector. A protein with a molecular weight of 35 kDa was seen on SDS-PAGE. Its reaction with anti-histidine antibodies was confirmed by Western blot. The purified protein was 33.100 mg/l. Immunization of mice induced a serum antibody response.

Conclusion: The chimeric protein can be considered a good candidate for effective immunity against cholera.

Keywords: Colonization factor, *Vibrio cholera*, Bioinformatics, Recombinant chimeric protein

Pathobiology Research, Vol. 20 (2017), No.3, Pages: 33-48

بیان و تخلیص پروتئین کایمر نوترکیب دربردارنده CtxB و TcpA از ویریوکلرا و بررسی تیتر آنتیبادی در موش

میلاد عامریان^۱، شهرام نظریان^{۲*}

۱- دانشجوی کارشناس ارشد، گروه زیست شناسی، دانشکده علوم پایه، دانشگاه جامع امام حسین (ع)، تهران، ایران

۲- استادیار، گروه زیست شناسی، دانشکده و پژوهشکده علوم پایه، دانشگاه جامع امام حسین (ع)، تهران، ایران

*آدرس نویسنده مسئول: ایران، تهران، کدپستی: ۱۶۵۱۱۳۶۷۷۱، دانشگاه جامع امام حسین (ع)، گروه زیست شناسی، دانشکده و پژوهشکده علوم پایه
Email: nazarian56@gmail.com

پذیرش مقاله: ۹۶/۰۷/۱۰

دریافت مقاله: ۹۶/۰۵/۱۴

چکیده

هدف: عامل کلونیزاسیون پیلی *tcpA* و توکسین کلرا مهم ترین عوامل بیماری‌زاوی ویریوکلرا هستند و توانایی تحریک سیستم ایمنی را دارند. هدف از این تحقیق بررسی بیان پروتئین کایمر نوترکیب CTXB-TCPA در باکتری اشربیایی کلی و تولید آنتیبادی علیه آن در موش بود.

مواد و روش‌ها: کاست ژنی دربردارنده ژنهای *tcpA*، *ctxB* و فاصله‌انداز با روش بیانفورماتیکی طراحی شد. شاخه‌هایی از قبیل ساختار پروتئین کایمر و اپی توب‌ها بررسی شد. برای ساخت کاست ژنی، ژنهای *tcpA* و *ctxB* تکثیر و در ناقل pET28a(+) در *ctxB-tcpA* در ناقل pET28a(+) تحت القای IPTG انجام شد. پروتئین نوترکیب CTXB-TCPA به روش SDS-PAGE و لکه‌گذاری وسترن تأیید شد. تیتر آنتیبادی تولید شده در سرم موش با روش الایزا بررسی شد.

نتایج: شاخص انطباق‌پذیری در ژن بهینه‌سازی شده به ۹۰٪ تغییر کرد. با بهینه‌سازی ژنی درصد کدون‌های با ترجیح بالا به ۷۴٪ درصد افزایش یافت. تحلیل آنژیمی همسانه‌سازی کایمر ژنی *ctxB-tcpA* در ناقل بیانی pET28a(+) را تأیید کرد. پروتئینی با وزن مولکولی ۳۵ کیلو دالتون در SDS-PAGE دیده شد. واکنش پروتئین با آنتیبادی ضد سرم کلرا در وسترن بلاست تأیید شد. میزان پروتئین خالص شده ۳۳/۱ میلی‌گرم در لیتر بود. ایمن‌سازی موش‌ها پاسخ آنتیبادی سرمی را القا کرد.

نتیجه‌گیری: پروتئین کایمر می‌تواند برای بررسی‌های ایمنی علیه وبا در نظر گرفته شود.

کلیدواژگان: عامل کلونیزاسیون، ویریوکلرا، بیانفورماتیک، پروتئین کایمر نوترکیب

پژوهش‌های آسیب شناسی زیستی، دوره ۲۰، شماره ۳، پاییز ۱۳۹۶، صفحات: ۴۸-۳۳

مقدمه

وبا (Cholera) بیماری اسهالی است که در صورت عدم تشخیص به موقع، مرگ و میر زیادی را در پی دارد. عامل این بیماری باکتری ویریوکلرا (*Vibrio cholera*) است [۱، ۲]. این بیماری در مناطق آسیا و از جمله کشور ایران به صورت بومی وجود دارد و گاهی به صورت همه‌گیری (Epidemia) ظاهر می‌شود. بیماری وبا چه به صورت همه‌گیری جهانی

پروتئین کایمر **TcpA-CtxB** علیه ویریوکلا

از دو زیر واحد CTA_1 و CTA_2 تشکیل شده که با پیوند دی سولفیدی به هم متصل اند. CTA_1 مسئول فعالیت توکسیک سم ADP CT بوده و دارای خاصیت ADP ریبو لازی (ribosylation) است. قطعه مارپیچی CTA_2 مسئول فرورفتان و اتصال بخش CTA_1 به درون ساختار پتامر CTB است [۱۱، ۱۲]. زیر واحد B مسئول اتصال سم به گیرندهای موجود در غشا سیتوپلاسمی سلول میزبان بوده و قادر خاصیت سمی (Immunoadjuvant) است. امروزه CTB را ایمونوادجوانات (Immunoadjuvant) نیز می‌نامند، زیرا این پروتئین قوی در اینمنی زایی وابسته به مخاط می‌دانند، زیرا این پروتئین یک انتقال دهنده بسیار مؤثر برای ترشح آنتی‌بادی علیه آنتی‌ژن‌ها است [۱۳]. ژن سازنده این پروتئین دارای ۳۰۹ جفت باز است [۱۴].

واکسن‌ها و اینمنی‌زاها (Immunogenes) نوترکیب در بردارنده ابی‌توب‌های یک یا چند آنتی‌ژن است که سیستم اینمنی را علیه بیماری زای مورد نظر تحریک می‌کند. تولید واکسن نوترکیب به دلیل ایجاد سطوح اینمنی بالا و پایدار، مفروض به صرفه بودن و تولید در حجم بالا ضروری به نظر می‌رسد [۱۳]. از طرفی یکی از راه‌های تقویت اثر واکسن‌ها استفاده از ادجوانات‌ها است که می‌توان با ممزوج کردن آنتی‌ژن‌های کاندیدای واکسن با ادجوانات CtxB به تهیه اینمنی زای مناسب پرداخت [۱۵]. در بین ساز و کارهای واکسیناسیون به اینمنی‌زاها و واکسن‌های زیر واحدی نوترکیب توجه زیادی شده است [۱۶]. واکسن‌های زیر واحدی اختصاصی‌تر بوده و واکنش‌های غیراختصاصی کمتری را در سیستم اینمنی به راه می‌اندازند. با وجود خواص ایمونولوژیکی کلراتوکسین که بسیار مورد توجه محققان است ولی سمت آن موجب محدود شدن استفاده برای واکسیناسیون انسانی شده است. با این حال عدم خاصیت سمی زیر واحد B، استفاده از CtxB به طور وسیعی به عنوان اینمنی زای مخاطی در حال بررسی است. استفاده از اینمنی‌زاها کایمری و واکسن‌های چند زیر واحدی به جای تک زیر واحدی‌ها به دلیل پاسخ کامل و اینمن تر مورد توجه قرار می‌گیرد. پروتئین‌های کایمر

(Pandemic) و چه به صورت بومی (Endemic) طی هزاران سال گذشته خسارت‌های جبران ناپذیری را به وجود آورده است. [۳، ۴]. ویریوکلا مدت زیادی در آب زنده می‌ماند و در مناطقی که سطح آب‌های زیرزمینی آن بالا است بیشتر شایع است و عامل بیماری‌زا بیشتر از طریق مدفوع و فاضلاب قابل انتقال است [۵، ۶].

ویریوکلا دارای عوامل بیماری زایی متعددی از جمله آنزیم‌ها و سموم مختلف است که مهم‌ترین آن‌ها کلرا توکسین (Cholera toxin) است که یک انتروتوكسین بوده و عامل اصلی بیماری وبا است [۷، ۸]. در نتیجه عملکرد توکسین، آب و الکترولیت‌ها از بدن خارج و باعث کاهش شدید حجم پلاسمای خون و در نهایت مرگ در عرض چند ساعت خواهد شد. ویریوون (Vibron) وبا از راه دستگاه گوارش با خوردن غذا و یا آشامیدن آب آلوده وارد بدن می‌شود و پس از عبور سد اسیدی شیره معده در محیط قلیایی روده کوچک در بین پرزهای لایه مخاطی چسبیده و شروع به تکثیر می‌نماید [۹].
پروتئین **TcpA** (Toxin co regulated piliA) به صورت یک پیلی رشته‌ای نازک است و دسته مشخصی را در سطح باکتری ویریوکلا ایجاد می‌کند. پیلی به شکل فیری است که از پلیمرهای یکسانی از **TcpA** تشکیل یافته و به عنوان یک پروتئین پیشرو در قسمت سیتوپلاسمیک غشا داخلی ویریوکلا به وسیله یک پروتئاز، مورد پردازش قرار می‌گیرد. **TCPI** (Toxin co-regulated pili J) نقش این پیتیداز را به عهده دارد. ژن سازنده این پروتئین دارای ۵۴۳ جفت باز است [۱۰].
مطالعات اولیه پیشنهاد می‌کرد که سم کلرا (Cholera toxin) از یک زیر واحد پروتئینی منفرد ۸۴ کیلو دالتونی ساخته شده است. اما تجزیه و تحلیل به کمک الکتروفورز Sodium dodecyl sulfate polyacrylamide (SDS-PAGE gel electrophoresis) نشان داد که سم کلرا از یک زیر واحد بزرگ A (CTA) به وزن مولکولی ۲۷ کیلو دالتون و یک زیر واحد پتامریک CTB (CholeratoxinB) با مونومرهایی به وزن مولکولی ۱۰/۶ کیلو دالتون تشکیل شده است. زیر واحد A

Gel Extraction از شرکت Bioneer (کره جنوبی) تهیه شد. ستون Ni-NTA agarose resin برای تخلیص پروتئین نوترکیب از شرکت Qiagene (آمریکا) خریداری شد.

طراحی کاست ژنی *tcpA* و *ctxB*

توالی ژن‌های *tcpA* و *ctxB* به ترتیب از پایگاه داده Gene Bank با شماره دسترسی (AB699248.1)، (AB449339) و توالی پروتئینی ژن‌ها از پایگاه FASTA بیوانفورماتیکی Prot Uni استخراج و در فرمت FASTA ذخیره شد [۲۰]. برای حفظ انسجام ساختاری پروتئین کایمر و عدم تداخل زیر واحدها از فاصله انداز (EAAAK) شامل اسیدآمینه‌های گلوتامیک، آلانین و لیزین استفاده گردید. از نرمافزار Optimizer برای بهینه‌سازی کدنونی و احتمال افزایش بیان کایمر استفاده شد [۲۱]. بررسی آنتی ژنیسته پروتئین کایمر با استفاده از سرور آنلاین VaxiJen انجام شد [۲۲]. ویژگی فیزیکی و شیمیابی سازه طراحی شده از قیل وزن مولکولی، ترکیب اسیدهای آمینه تشکیل‌دهنده پروتئین، تکرار آن‌ها، تعداد اسیدهای آمینه باردار مثبت و منفی، خصوصیات بیوشیمیابی پروتئین، نقطه ایزو الکتریک و ناپایداری، انعطاف‌پذیری پروتئین، نقطه ایزو الکتریک و ساختار دوم پروتئین با استفاده از برنامه ProtParam و mRNA پیش‌بینی شد [۲۳، ۲۴]. ساختار ثانویه ProtScale پس از بهینه‌سازی کدنونها ارزیابی شد. به همین جهت از برنامه RNA Fold استفاده شد [۲۵]. ژن کدکننده TcpA مورد نظر برای سترز به شرکت Biomatik (کانادا) سفارش داده شد.

همسانه‌سازی ژن‌ها

ژن *ctxB* با آغازگرهای اختصاصی (جدول ۱) به روش PCR تکثیر شد و پس از برش با آنزیم‌های محدودگر *EcoRI* و *HindIII* در ناقل (+) pET28a(+) همسانه‌سازی شد. ژن *tcpA* با آغازگرهای اختصاصی که در آن فاصله انداز (EAAAK

دربردارنده زیرواحدهای پروتئینی، فاصله اندازها و توالی‌هایی با خاصیت ادجوانی، می‌توانند سبب افزایش خاصیت ایمونوژنیستی پروتئین‌های نوترکیب شوند [۱۷، ۱۸].

کوندو (Kundu) و همکاران اینمی‌زایی پروتئین‌های نوترکیب *TcpA* و *CtxB* را به صورت جداگانه و ترکیبی علیه *CtxB* ویریو کلرا O₁ مطالعه کردند. استفاده از آنتی ژن *CtxB* به عنوان اینمی‌زای مصنونیت بخشی ۷۰/۴۵ درصد و آنتی ژن *TcpA* مصنونیت بخشی ۴۱/۱ درصد را نشان داد. این در حالی بود که استفاده همزمان هر دو آنتی ژن سبب مصنونیت ۱۰۰ درصدی در مدل حیوان شد [۱۹].

هدف از این تحقیق طراحی اینمی‌زای کایمر نوترکیب علیه عوامل اتصال و توکسین باکتری ویریو کلرا و همچنین بررسی تیتر آنتی‌بادی آن در موش بود.

مواد و روش‌ها

مواد آزمایشگاهی، پلاسمید و سوش‌های باکتری
در این مطالعه از باکتری اشتریشیا کلی (*Escherichia coli*) DH5α برای همسانه‌سازی ژن‌های *tcpA* و *ctxB* و BL21(DE3) برای بیان پروتئین استفاده شد. از محیط‌های کشت لوریا برتونی مایع (Luria-Bertani Broth: LB) و آگار شرکت Scharlau (اسپانیا) برای رشد باکتری اشتریشیا کلی استفاده شد. برای انتخابی نمودن رشد باکتری از آنتی‌بیوتیک کانامایسین (Kanamycin) شرکت Fermentas (اوکراین) استفاده شد. به منظور تأیید همسانه‌سازی ژن در ناقل بیانی، از آنزیمهای محدود الاتر *XhoI* و *HindIII* و ساخت شرکت Fermentas (اوکراین) استفاده شد. آنتی‌بادی اختصاصی تهیه شده علیه کلرا توکسین از شرکت Sigma (آمریکا) تهیه شد. غشای نیترو سلولز از شرکت Roche (آلمان) و پلیت الایزا (Enzyme-linked immunosorbent assay: ELISA) از شرکت Nunck (آمریکا) استفاده شد. PCR Product کیت‌های تخلیص شامل: کیت‌های PCR Clean-up و Plasmid Extraction و Purification

پروتئین کایمر *TcpA-CtxB* علیه ویریوکلا

ترانسفورم و غربال‌گیری کلونی‌ها روی محیط کشت *DH5α* واجد $80\text{ }\mu\text{m}$ میکروگرم در میلی‌لیتر از آنتی‌بیوتیک کانامایسین انجام گرفت. ساخت سازه ژنی به روش PCR و هضم آنزیمی تأیید شد. کلون‌های مثبت کشت داده شد و پلاسمیدهای نوترکیب تخلیص شده به درون سلول‌های مستعد اشريشیا کلی *BL21 DE3* ترانسفورم شد.

اسید آمینه‌های گلوتامیک، آلانین و لیزین) طراحی شده بود تکثیر شد و پس از هضم آنزیمی در جایگاه آنزیم‌های *XhoI* و *HindIII* به سازه ژنی *pET28a(+)-ctxB* *HindIII* قطعات با استفاده از آنزیم *T4 DNA ligase* و در شرایط دمایی 14°C درجه سانتی‌گراد و به مدت 10 ساعت انجام شد. پلاسمید نوترکیب به درون سلول‌های مستعد اشريشیا کلی

جدول ۱ توالی آغازگرها برای همسانه‌سازی ژنهای *tcpA* و *ctxB*

PCR	محصول (جفت باز)	آنزیم محدودگر	توالی آغازگر	زن هدف
۳۲۹	<i>EcoRI</i>	<i>ctxB/F</i> = <i>TGCAGAATTCACACCTCAAAATATTACTG</i>		<i>ctxB</i>
	<i>HindIII</i>	<i>ctxB/R</i> = <i>TATCAAGCTTATTGCCATACTAATTGC</i>		
۵۷۸	<i>HindIII</i>	<i>tcpA/F</i> with linker= <i>AGTTAACGCTTGCAGCT GCGGCAAAAT GACATTACTCG</i>		<i>tcpA</i>
	<i>XhoI</i>	<i>tcpA/R</i> = <i>AAT ACTCGAGTTAGCTGTACCAAATGC</i>		

بررسی شد.

تخلیص پروتئین نوترکیب و تأیید آن به روش وسترن بلات

برای تخلیص پروتئین نوترکیب از ستون نیکل-نیتریلو استیک اسید (Ni-NTA) استفاده و با توجه به اینکه پروتئین نوترکیب به دست آمده به صورت نامحلول بود، از بافرهای واجد اوره با ترکیب یکسانی از مواد تشکیل‌دهنده بافر B با pH ۷/۳ مختلف برای شستشوی ستون استفاده شد (بافر C با pH ۵/۹، بافر D با pH ۵/۹، بافر E با pH ۴/۵، بافر ایمیدازول (Imidazole) ۲۵۰ میلی‌مولار واجد اوره). برای تأیید پروتئین نوترکیب از روش وسترن بلات (Western Blotting) استفاده شد. عصاره سلولی پس از بیان با استفاده از سیستم لکه گذاری وسترن Bio-rad و بافر انتقال (گلایسین ۱۹۲ میلی‌مولار، تریس ۲۵ میلی‌مولار، SDS ۰/۱ درصد و متانول ۲۰ درصد و pH=۸/۳) روی کاغذ نیترو سلولز متقل و به منظور پر کردن جایگاه‌های خالی (Blocking)، کاغذ به مدت

CTXB-TCPA کایمر

برای بیان کایمر ژنی *ctxB-tcpA* از کشت شبانه کلون‌های جداسازی شده میزان $100\text{ }\mu\text{g}$ میکرولیتر به $5\text{ }\mu\text{l}$ لیتر محیط LB مایع حاوی کانامایسین تلقیح و پس از رسیدن چگالی سوری (Optical Density) در طول موج $600\text{ }\text{nm}$ به $0/5$ القاکنده (Isopropyl β -D-1-thiogalactopyranoside) IPTG (اوکراین) با غلظت نهایی $1\text{ }\mu\text{l}/\text{ml}$ مولار به محیط کشت افزوده و به مدت 4 ساعت در دمای 37°C درجه سانتی‌گراد گرمگذاری شد. رسوب سلولی در بافر لیزکنده واجد اوره $8\text{ }\mu\text{l}$ مولار (NaH_2PO_4 $100\text{ }\mu\text{l}/\text{ml}$)، Tris $10\text{ }\mu\text{l}/\text{ml}$ مولار، اوره $8\text{ }\mu\text{l}/\text{ml}$ pH 8 base یکنواخت و دیواره سلول‌ها از طریق سونیکاسانیون تخریب شد. سپس نمونه‌ها به مدت 20 دقیقه با سرعت 14000 دور در دقیقه سانتریفوژ شد و محلول رویی با نسبت یک (بافر نمونه) به پنج (نمونه) با بافر نمونه دارای غلظت 5X مخلوط و به مدت 5 دقیقه جوشانده شد. نمونه‌های تیمار شده توسط 12 SDS-PAGE درصد از لحاظ بیان پروتئین‌های نوترکیب

موش‌های آزمون و شاهد خون‌گیری و سرم‌های جداسازی شده برای بررسی تیتر آنتی‌بادی استفاده شد. کایمیر پروتئینی تخلیص شده با غلظت ۵ میکروگرم در هر چاهک به مدت ۲ ساعت و در دمای ۳۷ درجه سانتی‌گراد ثبیت شد. چاهک‌ها با بافر شستشو (PBS حاوی ۵ درصد توئین B) سه مرتبه شستشو داده شد. در این مرحله داخل تمام چاهک‌ها به میزان ۱۰۰ میکرولیتر بافر پوشاننده (۵ درصد شیر خشک بدون چربی) در بافر شستشو ریخته و به مدت ۱ ساعت در ۳۷ درجه سانتی‌گراد نگهداری شد. پس از شستشو، سرم موشی تهیه شده با رقت‌های ۱:۲۰۰ تا ۱:۲۵۶۰ به چاهک‌ها اضافه شد و میکروپلیت به مدت نیم ساعت در دمای ۳۷ درجه سانتی‌گراد قرار گرفت. در مرحله بعد، رقت ۱:۲۰۰۰ از آنتی‌بادی گانژوگه موشی در PBS میکرولیتر به هر چاهک اضافه و میکروپلیت به مدت نیم ساعت در دمای ۳۷ درجه سانتی‌گراد گرم‌گذاری شد. در ادامه، سوبستراتی (o-Phenylenediamine dihydrochloride) OPD و H₂O₂ به چاهک‌ها افزوده و بعد از ۱۵ دقیقه مهار واکنش با اسید سولفوریک صورت گرفت. پس از توقف کامل واکنش، جذب نوری چاهک‌ها توسط قرائت گر ELISA (reader) در طول موج ۴۹۵ نانومتر خوانده شد.

تحلیل آماری

برای تعیین نرمال بودن داده‌ها از آزمون کولموگروف-اسمیروف (Kolmogorov smirnov test) و برای مقایسه تعداد دفعات تجویز فرمولاسیون در مراحل مختلف اندازه‌گیری از تحلیل واریانس مکرر استفاده شد. در صورت مشاهده تفاوت معنی‌دار، آزمون t زوجی بون فرونی (Paired t-test with Bon Ferroni) برای تعیین منشأ تفاوت مورد نظر قرار گرفت. آزمون دانکن (Duncan test) برای مقایسه بین گروه‌های مختلف تجویز استفاده شد. سطح معنی‌داری برای تمامی محاسبات P<0.05 در نظر گرفته شد. کلیه عملیات آماری با استفاده از نرم‌افزار SPSS نسخه ۱۶ انجام شد.

یک شب در محلول ۵ درصد شیر خشک در PBS (Phosphate Buffered Saline with Tween) در دمای ۴ درجه سانتی‌گراد نگهداری شد. سپس سه مرتبه با PBS شستشو داده شد. کاغذ با آنتی‌بادی پلی‌کلونال ضد کلرای توکسین (Sigma آمریکا) با رقت ۱ به ۲۰۰۰ به مدت ۱ ساعت در دمای ۳۷ درجه سانتی‌گراد گرم‌گذاری شد. فرآیند شستشو با PBS سه بار انجام گرفت. گانژوگه خرگوشی (Dako دانمارک) با رقت ۱ به ۵۰۰۰ به عنوان آنتی‌بادی ثانویه استفاده شد. همانند مرحله قبل گرم‌گذاری انجام شد. فرآیند شستشو نیز همانند مراحل قبلی انجام شد. در نهایت، کاغذ نیترو سلولز DAB (Diaminobenzidine) در محلول سوبستراتی میلی‌گرم در ۱۰ میلی‌لیتر بافر تریس ۵۰ میلی‌مولار با pH برابر ۶ (۸) تا ظهور باند پروتئینی قرار گرفت. برای توقف واکنش، کاغذ در آب مقطر قرار داده شد.

ایمنی زایی موش با آنتی‌ژن کایمیر نوترکیب

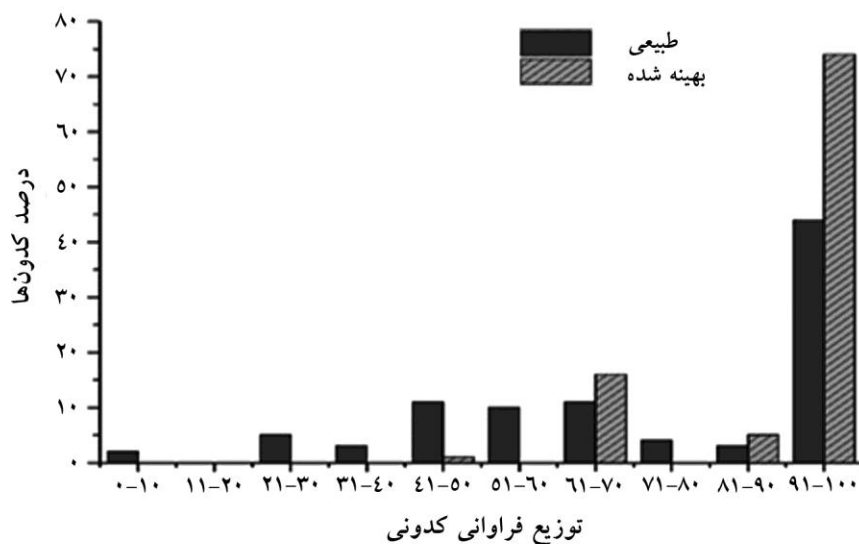
در این آزمایش از موش‌های سوری که هیچ دارو یا واکسنی دریافت نکرده بودند، استفاده شد. موش‌ها دارای وزن ۲۵ گرم بود و در مدت آزمایش تحت شرایط یکسان از جمله میزان غذا و آب مصرفی، شرایط نگهداری، دمای محیط و ... قرار داشت. به منظور بررسی پاسخ ایمنی، با توجه به رعایت اصول اخلاقی کار با حیوانات از ۶ عدد موش سوری ماده به عنوان آزمون و ۶ عدد به عنوان نمونه کنترل استفاده شد. برای هر موش، ۲۰ میکروگرم پروتئین تخلیص شده با PBS (Phosphate Buffered Saline) استریل به حجم ۲۰۰ میکرولیتر رسانده شد. برای آماده‌سازی نمونه‌ها برای تزریق، هم حجم آن ادجوانات کامل فرونده (Complete freund's adjuvant) در تزریق اول و ادجوانات ناقص فرونده (Incomplete freund's adjuvant) در تزریق‌های بعدی اضافه و محتویات همگن و در چهار دوره به موش‌ها تزریق شد. یک هفته بعد از تجویزهای دوم، سوم و چهارم از

پروتئین کایمر *TcpA-CtxB* علیه ویربیوکلا

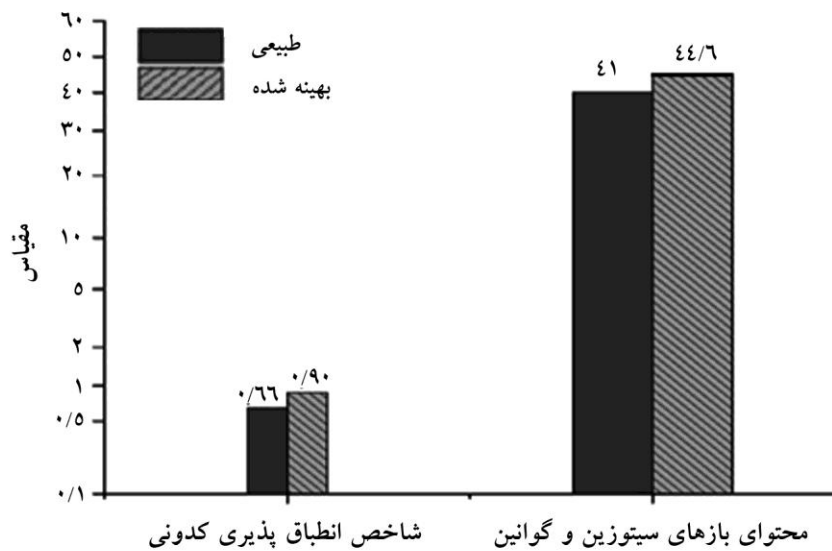
درصد به ۷۴ درصد تغییر پیدا کرد (شکل ۱). انتخاب و تغییر کدون مناسب به نحوی بود که محتوای سیتوزین و گوانین از ۴ درصد به ۶۴/۶ درصد افزایش یافت و شاخص انطباق پذیری کدونی از ۰/۶۶ به ۰/۹۰ تغییر کرد (شکل ۲). نتایج حاصل از تحلیل توالی کایمر با نرم افزار Blast-x تأیید نمود که اعمال تغییرات روی ژن و بهینه سازی توالی آن بدون هیچ گونه تغییری روی ردیف اسیدهای آمینه در پروتئین هدف بوده است. با استفاده از نرم افزار بیانفورماتیکی Vaxijen آتسی ژن بودن پروتئین کایمر ۴۸۵/۰ تعیین شد. پیش بینی ساختار mRNA انجام شد. ساختار پیش بینی شده ناحیه شروع mRNA^۵ پس از بهینه سازی کدون های ژن کایمر در شکل ۳ قابل مشاهده است و میزان حداقل انرژی برای ساختار قبل از بهینه سازی ۲۶۹/۳۰ - کیلو کالری و بعد از بهینه سازی به ۳۶۷/۸۰ رسید.

نتایج مطالعات بیانفورماتیکی طراحی کایمر *ctxB-tcpA*

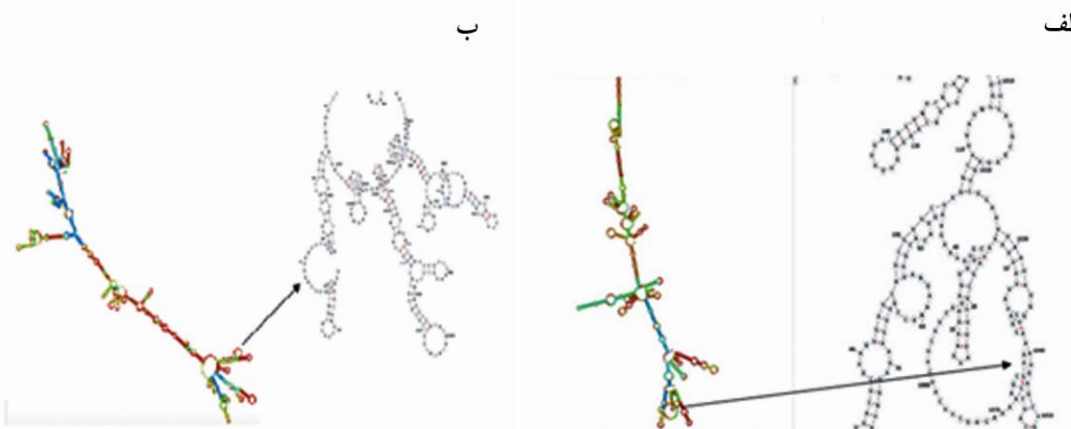
بهینه سازی در چهار بخش قابل بررسی بود که دربردارنده انعطاف پذیری ساختار پروتئین، تنظیم ترجیحی کدون ها، حلالیت و افزایش درصد فراوانی بازه های سیتوزین و گوانین Codon CAI (adaptation index) به ۰/۹ نشان دهنده میزان انعطاف پذیری و افزایش کدون های مورد استفاده برای بیان ژن در باکتری اشريشیا کلی بود. مزیت نسبی در بهینه سازی سازه ژنی الگوی کلونی مناسب برای افزایش کارآبی الگوی انتخابی در متابولیسم باکتری اشريشیا کلی است. تعداد کدون هایی که از کیفیت مناسبی برای افزایش بیان پروتئین برخوردار بود از ۴



شکل ۱ درصد توزیع فراوانی کدون ها مربوط به کایمر *tcpA-CtxB*, به کدون هایی که بالاترین فراوانی را دارند ارزش ۱۰۰ داده شده است.



شکل ۲ متوسط درصد بازهای GC و شاخص انطباقپذیری کدون (CAI) مربوط به کایمر *tcpA-ctxB* قبل و بعد از بهینهسازی



شکل ۳ ساختار دوم RNA؛ (الف) قبل از بهینهسازی بیوانفورماتیکی (حداقل انرژی آزاد $-269/30$) – فلاش نواحی ابتدایی mRNA^{5'} است. (ب) بعد از بهینهسازی بیوانفورماتیکی (حداقل انرژی آزاد $-337/80$) – فلاش نواحی ابتدایی mRNA^{5'} است.

ژن *ctxB* وارد ناقل شد. برای تأیید همسانهسازی ژن‌ها و ساخت سازه ژنی از جفت آغازگرهای اختصاصی هر ژن استفاده شد. در شکل ۴ (الف) واکنش PCR مربوط به پلاسمید نوترکیب با استفاده از آغازگرهای اختصاصی *ctxB* منجر به تکثیر قطعه ۳۲۹ جفت بازی، پلاسمید نوترکیب با

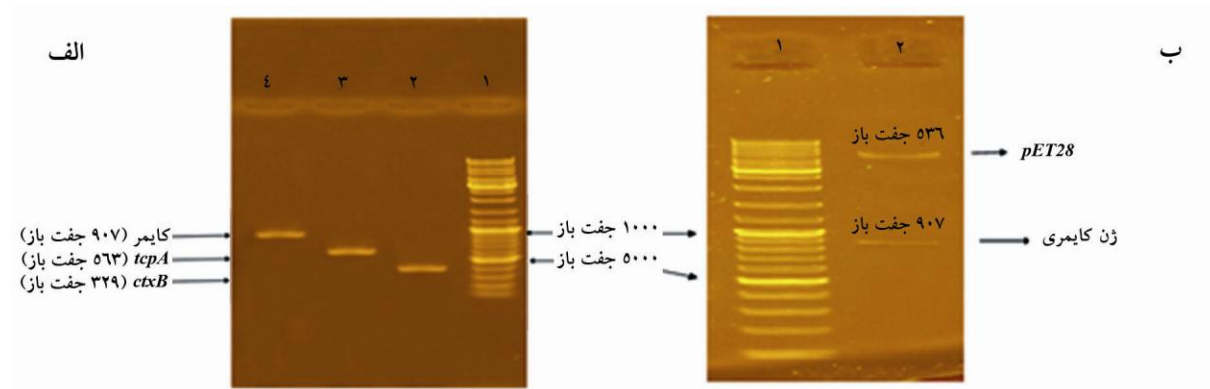
بررسی الحق و درستی همسانهسازی در باکتری اشريشيا كلى (BL21(DE3))

بهمنظور ساخت سازه ژنی ابتدای قطعه *ctxB* در ناقل همسانهسازی شد و در ادامه محصول PCR مربوط به ژن *ctxB* که واجد توالی فاصله انداز EAAAK بود، در فرودست

پروتئین کایمر *TcpA-CtxB* علیه ویربیوکلا

استفاده از آنزیم‌های محدود الاثر *XhoI* و *HindIII* قطعه *tcpA* و *CtxB* را در ناقل (+) pET28a(+) تأیید کرد (شکل ۴ ب).

آغازگرهای اختصاصی *tcpA* با قطعه ۵۶۳ جفت بازی و کایمر نوترکیب با آغازگرهای مشترک دو ژن *tcpA* و *CtxB* با اندازه ۹۰۷ جفت بازی دیده می‌شود. در روش هضم آنزیمی با



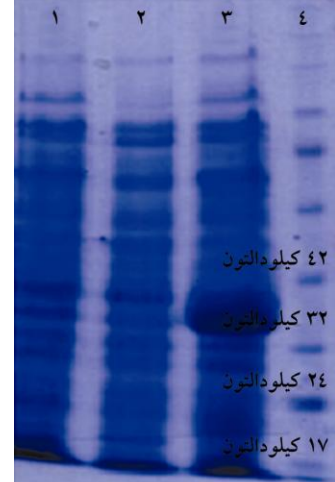
شکل ۴ تأیید ساخت کاست ژنی با روش PCR داخلي (الف) و روش هضم آنزيمي (ب)؛ (الف) رديف ۱: نشانگر اندازه DNA ladder mix، رديف ۲: الکتروفوروز محصول PCR پلاسميد نوترکیب با جفت آغازگرهای اختصاصی *ctxB*، رديف ۳: الکتروفوروز محصول PCR پلاسميد نوترکیب با جفت آغازگرهای اختصاصی *tcpA*، (ب) رديف ۱: نشانگر اندازه *ctxB* و *tcpA*، رديف ۲: پلاسميد نوترکیب-PCR با جفت آغازگرهای اختصاصی ترکیبي *ctxB* و *tcpA*، (ب) رديف ۳: نشانگر اندازه *pET28*، رديف ۴: پلاسميد نوترکیب-PCR با جفت آغازگرهای اختصاصی *tcpA* و *EcoRI* و *HindIII* (pET28-*ctxB*)*tcpA* بر ش خورده با آنزيم های (pET28-*ctxB*)*tcpA*

بررسی بیان پروتئین کایمر نوترکیب

بیان کایمر ژنی *ctxB-tcpA* در ناقل (+) pET28a(+) با IPTG میلی مولار القا شد. با توجه به نتایج آزمایش مشخص شد که کایمر پروتئینی CtxB-TcpA با اندازه ۳۵ کیلو دالتون به صورت نامحلول در باکتری بیان می‌شود (شکل ۵).

بررسی خلوص پروتئین نوترکیب آن به روش وسترن بلاست

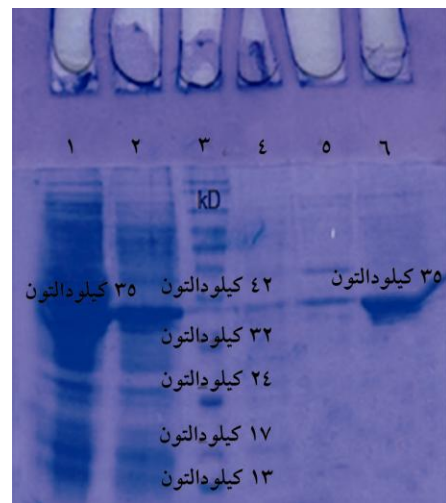
در تخلیص پروتئین از روش دناتوره استفاده شد. پروتئین نوترکیب CtxB-TcpA با بافر اوره دار حاوی ایمیدازول ۲۵۰ میلی مولار از رزین کروماتوگرافی جدا شد (شکل ۶). میزان پروتئین تخلیص شده ۳۳/۱۰۰ میلی گرم در لیتر بود. به منظور تأیید محصول پروتئینی از روش وسترن بلاست و آتشی بادی علیه کلراتوکسین استفاده شد. نتایج واکنش پروتئین ۳۵ کیلو دالتونی با آتشی بادی ضد کلرا توکسین را تأیید کرد (شکل ۷).



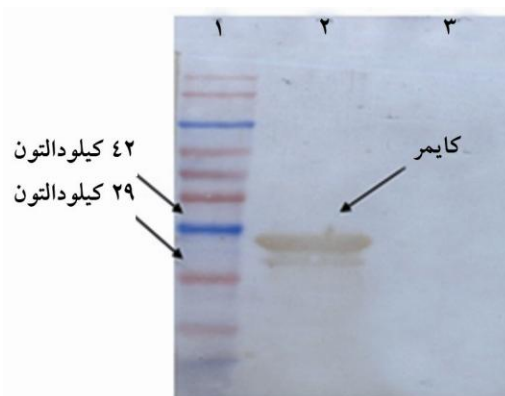
شکل ۵ الکتروفوروز روی ژل SDS-PAGE ۱۲ درصد با رنگ آمیزی کوماسی بلو (Coomassie blue) حاصل از بیان پروتئین کایمر نوترکیب *-T cpA-CtxB*؛ بیان پروتئین کایمر نوترکیب CtxB-TcpA در ناقل (+) pET28a(+) به صورت نامحلول، ستون ۱: نمونه پروتئین کایمر با القای IPTG یک میلی مولار در بافر واحد PBS، ستون ۲: نمونه پروتئین کایمر با القای IPTG یک میلی مولار در رسوب بافر لیز واحد اوره ۸ میلی مولار، ستون ۳: نمونه پروتئین کایمر با القای IPTG یک میلی مولار در محلول لیز واحد اوره ۸ میلی مولار (کایمر پروتئین ۳۵ کیلو دالتون)، ستون ۴: نشانگر پروتئینی

تولید آنتی‌بادی علیه پروتئین کایمر نوترکیب در موش

شکل ۸ و ۹ واکنش ELISA مربوط به پروتئین کایمر نوترکیب تخلیص شده و سرم موش را نشان می‌دهد. یک هفته بعد از تجویزهای دوم، سوم و چهارم از موش‌های آزمون و شاهد خون‌گیری به عمل آمد و بعد از جداسازی سرم آن‌ها، آزمایش ELISA انجام گرفت (با توالی رقت ۱/۲۵۶۰ تا ۱/۲۰۰). تجزیه واریانس آثار فرمولاسیون تجویز آنتی‌ژن و تعداد دفعات تجویز با اندازه‌گیری مکرر انجام شد. بر این اساس طرح آماری برای فاکتورهای مورد ارزیابی در این تحقیق، از لحاظ آماری معنی‌دار بود ($P < 0.05$). در شکل ۸ افزایش تیتر آنتی‌بادی در گروه آزمون که آنتی‌ژن را به صورت درون صفاقی دریافت کرده بودند دیده می‌شود. نتایج به دست آمده از تیتر آنتی‌بادی نشان داد که در حیوان‌های ایمن شده تیتر آنتی‌بادی به صورت معنی‌داری بالاتر از گروه کنترل ($P < 0.05$) بود. در هر مرحله از تزریق شاهد افزایش تیتر آنتی‌بادی بودیم به نحوی که بیشترین میزان جذب نوری مربوط به رقت ۱/۲۰۰ در تزریق چهارم و به میزان ۳ بود. شکل ۹ نیز بیان‌گر این است که تجویز زیرپوستی آنتی‌ژن نیز همانند گروه قبلی، منجر به افزایش تیتر آنتی‌بادی در هر مرحله شده است. نتایج به دست آمده تیتر آنتی‌بادی نشان می‌دهد که در موش‌های ایمن شده با آنتی‌ژن و به صورت زیرپوستی، تیتر آنتی‌بادی به صورت معنی‌داری بالاتر از گروه کنترل ($P < 0.05$) بود. بیشترین میزان جذب نوری مربوط به رقت ۱/۲۰۰ در تزریق چهارم و به میزان ۳/۳ بود. تیتر آنتی‌بادی مربوط به تجویز آنتی‌ژن به صورت زیرپوستی (شکل ۹) نسبت به تیتر آنتی‌بادی آنتی‌ژن تجویزشده به درون صفاق (شکل ۸) بالاتر بود که این میزان از لحاظ آماری تفاوت معنی‌داری را نشان نداد.

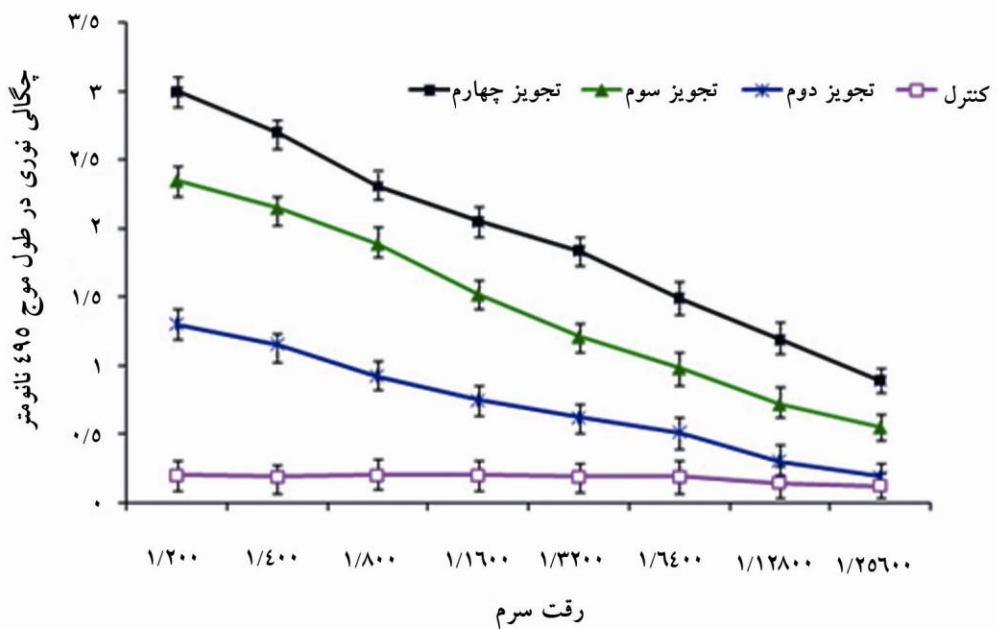


شکل ۶ الکتروفورز SDS PAGE ۱۲ درصد با رنگ‌آمیزی کوماسی بلو برای بررسی خلوص پروتئین نوترکیب CtxB-TcpA؛ ستون ۱: عصاره پروتئینی سلول‌های القا شده قبل از بارگذاری روی ستون کروماتوگرافی Ni-NTA، ستون ۲: محلول پروتئینی خارج شده از ستون کروماتوگرافی، ستون ۳: نشانگر پروتئینی، ۴: خروجی ستون پس از شستشو با بافر C pH=6.3، ستون ۵: خروجی ستون پس از شستشو با بافر D pH=5.9، ستون ۶: پروتئین نوترکیب تخلیص شده از ستون با بافر اورهار واجد ایمیدازول ۲۵۰ میلی‌مolar

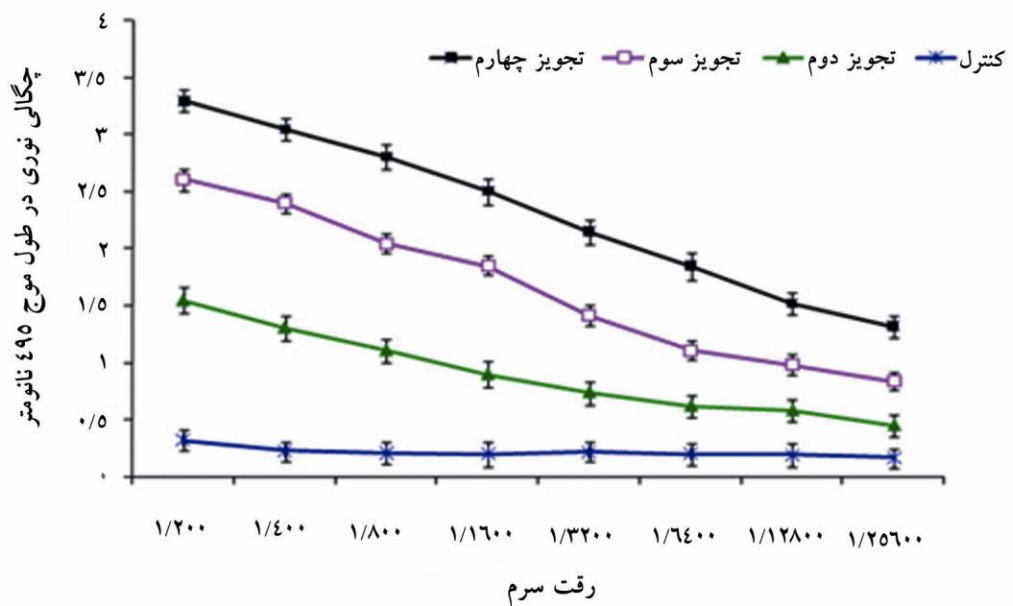


شکل ۷ تأیید پروتئین کایمر نوترکیب CtxB-TcpA بیان شده با استفاده از روش لکه گذاری و ستون؛ تأیید پروتئین کایمر با استفاده CtxB-TcpA Anti-CTX، ستون ۱: نشانگر پروتئینی، ستون ۲: نمونه پروتئین BSA CtxB-TcpA IPTG، ستون ۳: نمونه BSA

بروتئین کایمر TcpA-CtxB علیه ویربیوکلا



شکل ۸ بررسی تیتر آنتی بادی نمونه کایمر به صورت صفائی با روش ELISA



شکل ۹ بررسی تیتر آنتی بادی نمونه کایمر تزریقی به صورت زیر پوستی با روش ELISA

بحث

بیان سویه‌های مختلف باکتری اشريشیا کلی، یکی از سیستم‌هایی است که غالباً برای بیان آزمایشگاهی پروتئین‌های نوترکیب در اشريشیا کلی استفاده می‌شود.

با توجه به محل قرارگیری پروتئین *TcpA* در سطح باکتری و موقعیت قرارگیری آن نسبت به آتنی‌بادی‌ها، باعث شده تا کاندیدای مناسبی به منظور توسعه اینمی علیه بیماری وبا باشد. از سوی دیگر؛ پروتئین *CtxB* دارای خاصیت ادجواناتی است که باعث ایجاد اینمی سلولی و افزایش تیتر آتنی‌بادی به صورت سیستمیک می‌شود.

در این بررسی سعی داریم تا با تولید پروتئین کایمر به صورت نوترکیب زمینه‌ای را برای بیان مؤثر این پروتئین، هزینه کمتر، خاصیت اینمی زایی قوی‌تر و در نهایت طراحی واکسن کارآمدتر فراهم کنیم. لازم به ذکر است تقویت پاسخ اینمی *tcpA* مخاطی وابسته به ژن *ctxB* را می‌توان با کلون کردن ژن *ctxB* به همراه ژن *CtxB* به شکل یک واکسن نوترکیب یا با اضافه کردن مستقیم پروتئین *CtxB* به همراه آتنی ژن موردنظر انجام داد. کوندو نشان داد که استفاده از پروتئین‌های نوترکیب هر کدام از دو پروتئین *CtxB* و *TcpA* به تهایی و همزمان با هم می‌تواند سبب ایجاد اینمی علیه بیماری شود؛ اما زمانی که به صورت مخلوط باشند خاصیت اینمی زایی به مراتب بالاتری دارند. به همین دلیل ژن *ctxB* را با ژن *tcpA* ممزوج کرد تا با تولید پروتئین کایمیریک حاصل از این ممزوج قدرت اینمی زایی افزایش یابد.

در طراحی کاندیدهای واکسن امروزه توجه خاصی به پروتئین‌های کایمر می‌شود. پروتئین‌های کایمر دربردارنده زیر واحدهای پروتئینی، فاصله اندازها و توالی‌هایی با خاصیت ادجواناتی، می‌تواند سبب افزایش خاصیت اینمی زایی پروتئین‌های نوترکیب شود. این دو قطعه پروتئینی می‌بایست توسط یک فاصله انداز مناسب به هم متصل شوند. برای جداسازی بهتر دو پروتئین و در معرض قرار گرفتن بهتر پروتئین کایمر در سیستم اینمی میزان و ایجاد تیتر آتنی‌بادی بهتر از فاصله اندازی سخت شامل اسید آمینه‌های EAAAK

نتایج بیوانفورماتیکی با توجه به هدف مقاله که طراحی و بیان پروتئین نوترکیب کایمر دربردارنده پروتئین‌های *CtxB* و *TcpA* از باکتری ویریو کلرا به عنوان کاندیدای ایمونوژن بود، مطلوب بود. از آنجا که توالی ژن‌های *ctxB* و *tcpA* دارای کدون نادر هست، تمامی توالی‌های نوکلئوتیدی تولیدکننده پروتئین کایمر با نرمافزار آنلاین برای بیان بالا در میزان Codon adaptation (CAI) کایمر *ctxB-tcpA* قبل از بهینه‌سازی (Index بهینه‌سازی) به ۰/۹۰ افزایش یافت که این نشانگر انتخاب کدون‌هایی هست که *tRNA* t بیشتری برای آن وجود داشته که باعث افزایش بیان در میزان اشريشیا کلی می‌شود. همچنین به منظور بررسی پایداری ساختار RNA میزان ΔG وجود ساختارهایی از قبیل لوپ‌های کاذب ارزیابی شد. حداقل انرژی آزاد (ΔG) قبل از بهینه‌سازی ۲۶۹/۳۰ و بعد از بهینه‌سازی ۳۳۷/۸۰ بود. این تغییر نشان می‌دهد ساختار کایمر انتخاب شده ما پایدار بوده است. با توجه به نتایج حاصل از نرمافزارهای مختلف و همچنین تحقیقاتی که پیش از این روی این پروتئین‌ها و ترکیب آن‌ها برای افزایش پاسخ ایمونولوژیک صورت گرفته، بهترین حالت برای ساخت واکسن ترتیب این سازه نوترکیب به صورت *ctxB-linker-tcpA* است، چرا که ترتیب ذکر شده طبق نتایج حاصل از نرمافزار ProtParam بیشترین پایداری و نیمه عمر را خواهد داشت. به کمک ابزارهای بیوانفورماتیک سازه‌ای طراحی شد که پیش‌بینی می‌شود پروتئین حاصل از آن به میزان زیادی در میزان اشريشیا کلی بیان شود و می‌تواند به عنوان یک واکسن چندگانه علیه بیماری استفاده شود.

در این تحقیق به منظور بیان کایمر ژنی *ctxB-tcpA* از سیستم بیانی (+) pET28a استفاده شد. این سیستم به دلیل His6 tag, T7 lac در دو طرف MCS (Multiple cloning site) برای تخلیص بهتر پروتئین کایمر و در نهایت داشتن شرایط مطلوب برای

پروتئین کایمر TcpA-CtxB علیه ویربیوکلا

فعال و باعث افزایش تیتر آنتی‌بادی افزایش میل پیوندی بین سلول T و B می‌شود. بنابراین هنگامی که پروتئین CtxB به صورت کوتزوه‌گه با پروتئین TcpA همراه شود اینی زایی افزایش می‌یابد. شارما (Sharma) و همکارانش روی بیان Accessory colonization (ACFA) تلفیقی زیرواحدهای factor subunit A (factor subunit A) در گیاه گوجه فرنگی تاریخته شده کار کردند که نتایج حاصل از پژوهش آن‌ها با قسمتی از نتایج بررسی حاضر درباره بیان پروتئین CtxB هم راستا بود [۲۷]. در سال ۲۰۰۸ آقای کوندو و همکارانش به اینی سازی استنشاقی از طریق زیر واحد B کلراتوکسین و زیر واحد A پیلی متحرک ویربیو کلرا در خرگوش پرداختند که با پژوهش حاضر هم راستا بود [۱۹]. نتایج ELISA نشان داد که تزریق پروتئین کایمر به روش زیر پوستی منجر به بالا رفتن تیتر آنتی‌بادی در مقایسه با روش درون صفاقی می‌شود که این تفاوت از لحاظ آماری معنی‌دار نبود. با در نظر گرفتن این که تیتر آنتی‌بادی پس از تزریق سوم و چهارم از لحاظ آماری بی‌معنی بود می‌توان نتیجه گرفت که سه بار تزریق اینی زای کایمر نیز می‌تواند سیستم اینی را تحریک نماید و نیازی به تجویز چهار مرحله‌ای نیست. نتایج این پژوهش، نقش آنتی‌زن کایمر نوترکیب مشکل از عوامل بیماری‌زای TcpA و CtxB را ثابت نمود و آنتی‌بادی در موش سوری تولید کرد. بنابراین نتیجه این تحقیق بیانگر آن است که پروتئین کایمر دو ظرفیتی می‌تواند کاندیدای مناسبی برای تولید واکسن علیه بیماری وبا باشد.

تشکر و قدردانی

بدین‌وسیله از گروه زیست شناسی دانشگاه جامع امام حسین (ع) جهت فراهم آوردن امکانات و شرایط مورد نیاز، تشکر می‌گردد.

(اسید آمینه گلوتامیک، آلانین و لیزین) که به علت داشتن پل نمکی، با ایجاد ساختار هلیکس پایدار، مانع از به هم نزدیک شدن دومین‌های پروتئینی اسید گلوتامیک و لیزین انتهایی می‌شود، استفاده شد.

ماهیت آنتی‌زن‌ها در روند اینی زایی تأثیر برجسته‌ای دارد. آنتی‌زن‌ها بر اساس ماهیت ساختاری و میزان تحریک‌پذیری سیستم اینی میزبان به دو گروه پروتئینی و پلی‌ساقاریدی تقسیم می‌شود. آنتی‌زن‌های پروتئینی که همان آنتی‌زن‌های وابسته به سلول T است نقش بسیار اساسی در تولید اکثر سلول‌های خاطره دارد در حالی که آنتی‌زن‌های پلی‌ساقاریدی با تکریابی برخلاف پروتئین‌ها، تنها سلول‌های پلاسمای کوتاه عمر را تولید می‌نمایند و سبب تولید یک نوع به خصوص سلول‌های خاطره خواهد شد [۲۶].

طبق مطالعات به عمل آمده تیتر آنتی‌بادی تولیدشده علیه هر آنتی‌زن با ماندگاری خاطره اختصاصی رابطه مستقیم برقرار می‌کند، بنابراین تیتر آنتی‌بادی مربوط به تجویز آنتی‌زن به صورت زیرپوستی نسبت به درون صفاقی سیستم اینی میزبان را بیشتر تحریک می‌کند و پاسخ اینی بهتری به ما می‌دهد که همان‌طور در نمودارهای مربوط به تیتر آنتی‌بادی مرتبط با تجویزها مشاهده می‌شود، در هر مرحله تیتر آنتی‌بادی به صورت تصاعدی افزایش یافته است و این بیانگر تحریک مناسب سیستم اینی توسط آنتی‌زن هست. در این پژوهش از آنتی‌زن‌های پروتئینی استفاده شده که در آن زن CtxB با توجه به دارا بودن خاصیت ادجوانی موجب تحریک پاسخ اینی به واسطه برهمنش آنتی‌زن با سلول‌های عرضه‌کننده آنتی‌زن (Antigen-Presenting cell: APC) موجود در زیر پوست APC می‌شود. سلول‌های دندریتیک که جزئی از سلول‌های Hستند، آنتی‌زن رو به گره لنفاوی منتقل، سپس به سلول‌های T عرضه و سلول T فعال می‌شود. با فعال شدن سلول T، سلول B

منابع

[1] Morris JG Jr, Sztein MB, Rice EW, Nataro JP,

Losonsky GA, Panigrahi P, Tacket CO, Johnson

- JA. *Vibrio cholerae* O1 can assume a chlorine-resistant rugose survival form that is virulent for humans. *J Infect Dis* 1996; 174(6): 1364-8.
- [2] Daten Beyeng RT, Purniti PS, Naning R. Validity of bacterial pneumonia score for predicting bacteremia in children with pneumonia. *Paediatrica Indonesiana* 2011; 51(6): 322-6.
- [3] Dick MH, Guillerm M, Moussy F, Chaignat CL. Review of two decades of cholera diagnostics--how far have we really come? *PLoS Negl Trop Dis* 2012; 6(10): e1845.
- [4] Friedlander SL, Busse WW. The role of rhinovirus in asthma exacerbations. *J Allergy Clin Immunol* 2005; 116(2): 267-73.
- [5] Heyman D. Control of communicable diseases manual. Washington, DC: American Public Health Association, 2004; p: 113-22.
- [6] Lima AAM. Cholera: molecular epidemiology, pathogenesis, immunology, treatment, and prevention. *Current Opinion in Infectious Diseases* 1994; 7(5): 592-601.
- [7] Mousavi SL, Iraj Rasooli, Shahram Nazarian, Jafar Amani. Simultaneous detection of *Escherichia coli* O157:H7, toxigenic *Vibrio cholerae*, and *Salmonella typhimurium* by multiplex PCR. *Iranian Journal of Clinical Infectious Disease* 2009; 4(2): 97-103.
- [8] Bharati K, Ganguly NK. Cholera toxin: a paradigm of a multifunctional protein. *Indian J Med Res* 2011; 133: 179-87.
- [9] Carpenter CCJ. Cholera and other enterotoxin-related diarrheal diseases. *The Journal of Infectious Diseases* 1972; 126(5): 551-64.
- [10] Taylor RK, Miller VL, Furlong DB, Mekalanos JJ. Use of phoA gene fusions to identify a pilus colonization factor coordinately regulated with cholera toxin. *Proc Natl Acad Sci U S A* 1987; 84(9): 2833-7.
- [11] Odumosu O, Nicholas D, Yano H, Langridge W. AB toxins: a paradigm switch from deadly to desirable. *Toxins (Basel)* 2010; 2(7): 1612-45.
- [12] Viel T, Dransart E, Nemati F, Henry E, Thézé B, Decaudin D, Lewandowski D, Boisgard R, Johannes L, Tavitian B. In vivo tumor targeting by the B-subunit of shiga toxin. *Mol Imaging* 2008; 7(6): 239-47.
- [13] Abraham E, Wunderink R, Silverman H, Perl TM, Nasraway S, Levy H, Bone R, Wenzel RP, Balk R, Allred R, Pennington JE Wherry JC, Bellamy P, Cryer H, Busuttil R, Winston D, Perry C, Leeper Jr KV, Jones C, Martin M, Tuma P, Baird I, Brooks J, Baird R, Rangel S, Wagner N, Costigan M, Gutierrez G, Johnson P, Clark C, Grover C, Gay PC, Stekelberg J, Steinburg PV, Ortiz J, Sigel P, Murphy A, Lahey W, Plouffe J, Fass RJ, Russell J, Crowell RE, Simpson SQ, Neidhart M, Dunn M, Saravolatz L, Griffin N, Samo TC, Feinstein V, Doyle K, Tuttle C, Brown R, Steingrub J, Safford MJ, Bacon III A, Holloway W, Amato S, Schneider F, Toews GB, Fekety Jr R, Kugler J, Hampton J, Kahn FA, Karnik A, Niederman M, Cunha B, Clare N, Leatherman J, Peterson PK, Doak C, Zimmerman L, Gottlieb JE, Stokes L, Sessler C, Deere K, Gloskey D, Longworth D, Liucchi L, Strange C, Oser R, Gilbert D, Leggett JE, Waite K, Christou NV, Magder S, Bonneau M, Tan JS, File T, Salstrom SJ, Eaton

بروتئین کایمر TcpA-CtxB علیه ویریوکلا

- S, Garber G, Jones G, Seguin I, Chow AW, Tweeddale M, Schwartz L, Pankey G, Vollenweider J, Neu H, Garvey G, Dorney P, Jacobs RA, Bernstein M, Octavio J, Schillinger B, Iberti T, Russell J, Sheagren J, Craven D, Poole L, Myers W; Ash M, Czarny N, Arcieri G, Koch G, Prove J, Remick D, Fournel M. Efficacy and safety of monoclonal antibody to human tumor necrosis factor alpha in patients with sepsis syndrome. A randomized, controlled, double-blind, multicenter clinical trial. TNF-alpha MAb Sepsis Study Group. *JAMA* 1995; 273(12): 934-41.
- [14] Arêas AP, Oliveira ML, Miyaji EN, Leite LC, Aires KA, Dias WO, Ho PL. Expression and characterization of cholera toxin B-pneumococcal surface adhesin A fusion protein in *Escherichia coli*: ability of CTB-PsaA to induce humoral immune response in mice. *Biochem Biophys Res Commun* 2004; 321(1): 192-6.
- [15] Shen MY, Sali A. Statistical potential for assessment and prediction of protein structures. *Protein Sci* 2006; 15(11): 2507-24.
- [16] Vartak A, Scheck SJ. Recent Advances in Subunit Vaccine Carriers. *Vaccines (Basel)* 2016; 4(2): E12.
- [17] Nazarian S, Mousavi Gargari SL, Rasooli I, Amani J, Bagheri S, Alerasool M. An in silico chimeric multi subunit vaccine targeting virulence factors of enterotoxigenic *Escherichia coli* (ETEC) with its bacterial inbuilt adjuvant. *J Microbiol Methods* 2012; 90(1): 36-45.
- [18] Arakawa T, Chong DK, Langridge WH. Efficacy of a food plant-based oral cholera toxin B subunit vaccine. *Nat Biotechnol* 1998; 16(3): 292-7.
- [19] Kundu J, Mazumder R, Srivastava R, Srivastava BS. Intranasal immunization with recombinant toxin-coregulated pilus and cholera toxin B subunit protects rabbits against *Vibrio cholerae* O1 challenge. *FEMS Immunol Med Microbiol* 2009; 56(2): 179-84.
- [20] Leinonen R, Diez FG, Binns D, Fleischmann W, Lopez R, Apweiler R. UniProt archive. *Bioinformatics* 2004; 20(17): 3236-7.
- [21] Puigbò P, Guzmán E, Romeu A, García-Vallvé S. OPTIMIZER: a web server for optimizing the codon usage of DNA sequences. *Nucleic Acids Res* 2007; 35(Web Server issue): W126-31.
- [22] Doytchinova IA, Flower DR. VaxiJen: a server for prediction of protective antigens, tumour antigens and subunit vaccines. *BMC Bioinformatics* 2007; 8: 4.
- [23] Gentleman RC, Carey VJ, Bates DM, Bolstad B, Dettling M, Dudoit S, Ellis B, Gautier L, Ge Y, Gentry J, Hornik K, Hothorn T, Huber W, Iacus S, Irizarry R, Leisch F, Li C, Maechler M, Rossini AJ, Sawitzki G, Smith C, Smyth G, Tierney L, Yang JY, Zhang J. Bioconductor: open software development for computational biology and bioinformatics. *Genome Biol* 2004; 5(10): R80.
- [24] Zeng X, Ye H, Yang Y, Wang G, Huang H. Molecular cloning and functional analysis of the fatty acid-binding protein (Sp-FABP) gene in the mud crab (*Scylla paramamosain*). *Genet Mol Biol* 2013; 36(1): 140-7.
- [25] Mathews DH, Moss WN, Turner DH. Folding and finding RNA secondary structure. *Cold Spring Harb Perspect Biol* 2010; 2(12):

- a003665.
- [26] McHeyzer-Williams M, Okitsu S, Wang N, McHeyzer-Williams L. Molecular programming of B cell memory. *Nat Rev Immunol* 2011; 12(1): 24-34.
- [27] Sharma MK, Jani D, Thungapathra M, Gautam JK, Meena LS, Singh Y, Ghosh A, Tyagi AK, Sharma AK. Expression of accessory colonization factor subunit A (ACFA) of *Vibrio cholerae* and ACFA fused to cholera toxin B subunit in transgenic tomato (*Solanum lycopersicum*). *J Biotechnol* 2008; 135(1): 22-7.